

MnGa<sub>2</sub>S<sub>4</sub> MONOKRİSTALININ ELEKTRİK XASSƏLƏRİ

N.N. NİFTİYEV

Azərbaycan Dövlət Pedaqoji Universiteti, Az. 1000, Bakı, Ü. Hacıbəyov, 34.

O.B. TAĞIYEV

AMEA Fizika İnstitutu, Az. 1143, Bakı, H. Cavid, 33.

M.B. MURADOV

Bakı Dövlət Universitet, Az. 1145, Z. Xəlilov, 23.

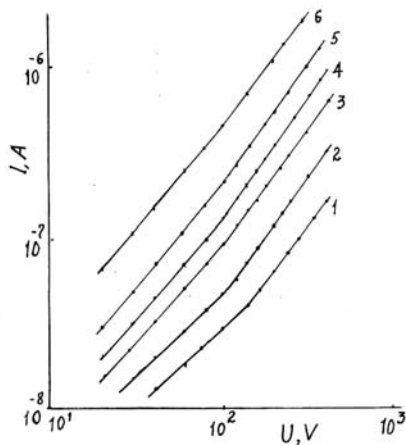
F.M. MƏMMƏDOV

AMEA kimya problemləri institutu, Az. 1143, H. Cavid, 33

MnGa<sub>2</sub>S<sub>4</sub> monokristalında müxtəlif temperaturlarda VAX,  $\sigma(T)$  və TDC tədqiq edilmişdir. Tələlərin xarakteri müəyyən edilmiş, onların yerləşmə dərinliyi və konsentrasiyası hesablanmışdır.

Maqnit və yarımkəçirici xassələrini özündə cəmləşdirən və maqnit yarımkəçiriciləri adlanan AB<sub>2</sub>X<sub>4</sub>(A-Mn, Fe, Co, Ni; B-Ga, İn; X-S, Se, Te) tipli birləşmələr qeyri-adi xüsusiyyətləri sayəsində geniş tədqiqatların obyektinə çevrilmişdir. [1-6]. Bu birləşmələr onları əsasında lazerlər, işıq modulyatorları, fotodetektorlar və maqnit sahəsində idarə oluna bilən digər funksional qurğuların yaradılmasında perspektivlidir. MnGa<sub>2</sub>S<sub>4</sub> birləşməsinin müxtəlif modifikasiyaları mövcuddur: aşağı temperaturlu  $\alpha$ -MnGa<sub>2</sub>S<sub>4</sub> fazası kristal qəfəs parametrləri  $a=12,746$ ,  $b=22,609$ ,  $c=6,394\text{Å}$  və fəza qrupu  $C_2/c$ ,  $z=12$  olan monoklin qəfəsə kristallaşır, yuxarı temperaturlu  $\beta$ -MnGa<sub>2</sub>S<sub>4</sub> fazası kristal qəfəs parametrləri  $a=12,90$ ,  $b=745$ ,  $c=6,13\text{Å}$  və fəza qrupu  $PnaZ$ , olan rombik qrupa kristallaşır [1-2; 7-8]. Hər iki fazanın monokristal kimyəvi köçürmə metodu ilə alınmışdır. Bundan başqa MnGa<sub>2</sub>S<sub>4</sub> birləşməsinin MnGa<sub>2</sub>Se<sub>4</sub> quruluşuna analoji olaraq qəfəs parametrləri  $a=5,46$ ,  $c=10,50\text{Å}$ ,  $c/a=1,92$  olan I4 fəza qrupuna kristallaşan yeni fazası alınmış və onun elektrik və optik xassələri tədqiq edilmişdir [9-10].

Bu işdə Bricmen metodu ilə alınmış  $\beta$ -MnGa<sub>2</sub>S<sub>4</sub> monokristalının Volt amper xarakteristikası (VAX), elektrik keçiriciliyinin temperatur asılılığı ( $\sigma(T)$ ) və termostimullaşmış depolyarizasiya cərəyanları (TDC) tədqiq edilmişdir. Ölçmələri aparmaq üçün kontakt kimi nümunənin səthinə çəkilmiş indium- qalium ərintisindən istifadə edilmişdir.

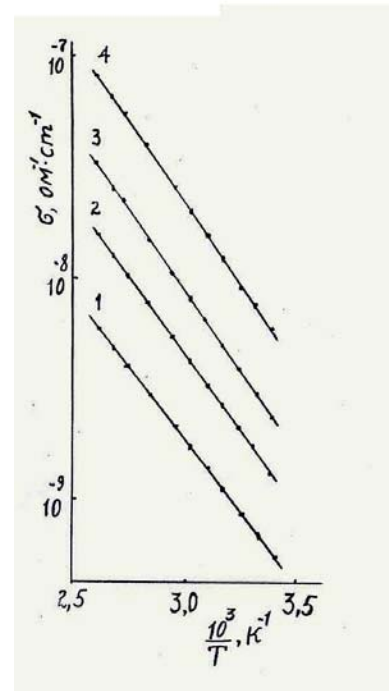


Şəkil 1. MnGa<sub>2</sub>S<sub>4</sub> monokristalında qaranlıqda müxtəlif temperaturlarda VAX: -T.: 1-293; 2-308; 3-323; 4-338; 5-353; 6-373.

Şəkil 1-də MnGa<sub>2</sub>S<sub>4</sub> monokristalının müxtəlif temperaturlarda VAX- i verilmişdir. Buradan iki oblast aşkara çıxarılmışdır: 1) Om qanununa tabe olan oblast ( $I-U$ ) və 2)  $I-U^{3/2}$  oblastı. Aşağı gərginliklərdə VAX-ın xətti oblastında cərəyanın gərginlikdən asılılığı

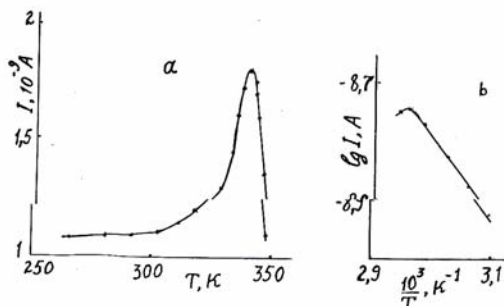
$$I = \frac{e\mu n_0 U S}{L} \quad (1)$$

kimi olur [11]. Burada  $U$ - nümunəyə tətbiq olunan gərginlik,  $n_0$ - tarazlıqda olan yükdaşıyıcıların konsentrasiyası,  $\mu$ - yükdaşıyıcıların yürüklüyü,  $e$ - yükdaşıyıcıların yükü,  $L$ - kontaktlar arasında məsafə,  $S$ - kontaktların sahəsidir. Yükdaşıyıcıların konsentrasiyası üçün  $\sim 10^{10} \text{sm}^{-3}$  qiyməti tapılmışdır. Temperatur yüksəldikcə qeyri- xətti oblasta keçid gərginliyi azalır. Bu onu göstərir ki, MnGa<sub>2</sub>S<sub>4</sub> monokristal qüvvətli kompensasiya olunmuş yarımkəçiricidir.  $I-U^{3/2}$  oblastında isə cərəyanın keçmə mexanizminin injeksiya ilə əlaqədar olması fərz olunur [11].



Şəkil 2. MnGa<sub>2</sub>S<sub>4</sub> monokristal üçün müxtəlif sabit gərginliklərdə elektrik keçiriciliyinin temperatur asılılığı: ( $U-V$ ): 1-40; 2-100; 3-180; 4-300.

Şəkil 2- də müxtəlif sabit gərginliklərdə elektrik keçiriciliyinin temperaturdan asılılıq qrafiki verilmişdir. Düz xətlərin meyilləri demək olar ki, bir-birindən o qədər də fərqlənmir.  $\lg \sigma \sim 10^3/T$  asılılıq əyrisindən yükdaşıyıcıların aktivasiya enerjisi hesablanmışdır və  $E=0,28 \pm 0,2$  eV-a bərabərdir.



Şəkil 3. a) 300V polarizasiya gərginliyində TDC əyrisi.  
b) 300V polarizasiya gərginliyində TDC cərəyan pikinin başlanğıc hissəsinin temperaturdan asılılığı.

Şəkil 3a- da MnGa<sub>2</sub>S<sub>4</sub> monokristalı üçün 300V polarizasiya gərginliyində TDC əyrisi verilmişdir. TDC spektrində temperatur maksimumu 338K olan pik müşahidə edilmişdir. TDC əyrisinin təhlili üçün yanışma səviyyələrinin tipini bilmək lazımdır. Bunun üçün «δ»

kəmiyyətindən istifadə olunur və «δ» aşağıdakı ifadədən tapılır:

$$\delta = \frac{T_2 - T_M}{T_2 - T_1} \quad (2)$$

Burada  $T_M$ - TDC- nin maksimumuna uyğun temperaturdur,  $T_1$  və  $T_2$ - TDC- nin maksimum intensivliyinin yarısına uyğun aşağı və yuxarı temperaturlardır. TDC maksimumunun formasının təhlili göstərir ki, MnGa<sub>2</sub>S<sub>4</sub> monokristalı üçün müşahidə edilən maksimumda

$$\delta \geq e^{-1} \left( 1 + \frac{2KT_M}{E_i} \right) \quad (3)$$

şərti ödənilir [12]. Bu şərtin ödənilməsi sürətli yanışma səviyyələrinin mövcudluğunu göstərir.

Şəkil 3b- də MnGa<sub>2</sub>S<sub>4</sub> monokristalı üçün TDC cərəyan pikinin başlanğıc hissəsinin temperaturdan asılılıq əyrisi  $I \sim 10^3/T$  miqyasında göstərilmişdir. Bu əyridən tələlərin aktivləşmə enerjisi hesablanmışdır və  $E=0,28$  eV [13].

Göründüyü kimi bu enerji səviyyəsi  $\sigma(T)$ -dən də tapılmışdır. Bu onu göstərir ki, elektrik keçiriciliyi və termostimullaşmış depolyarizasiya cərəyanları eyni səviyyə ilə bağlıdır.

Beləliklə, MnGa<sub>2</sub>S<sub>4</sub> monokristalında müxtəlif temperaturalarda VAX,  $\sigma(T)$  və TDC tədqiq edilmişdir. Tələlərin xarakteri müəyyən edilmiş, onların yerləşmə dərinliyi və konsentrasiyası hesablanmışdır.

- |   |  |
|---|--|
| [1] T. Kanomata, H. Ido, T. Kaneko. J.Phys. Japan, 1973, M.34, №2, p.554.   | [7] R. Rimet, R. Buder, C. Sehlenker, B. Roques, T. Zanchetta. Sol. St. Commun., 1981, v.37, P.693-697.                |
| [2] B.K. Babayeva. V sb. Troyniye poluprovodniki i ix primeneie. Kişinev. Ştntsa. 1976.s.96. (Rus dilində)                        | [8] M.P. Pardo, M. Julien-Pourol. C.r.Acad.sci, 1973, №20, p.1021-1023.  |
| [3] G.A. Medvedkin, Yu.V. Rud M.V. Tairov. Phys.Status solidi (a) 1989, V.3, p.289  | [9] N.N. Niftiyev. İntermetallics, 2003, №11, p. 975-977.  |
| [4] Q.K. Averkieva, R.N. Bekimbetov, N.N. Konstantinova i dr. Neorqanicheskie materialı, 1988, t.24, №4, s.591-594. (Rus dilində) | [10] N.N. Niftiyev, O.B. Taqiyev. FTP, 2004, t.38, v.2, c.166-167. (Rus dilində).                                      |
| [5] N.N. Niftiyev, O.B. Taqiyev. İnorqanik materials, 2003, V.39, №6 p.576-578.   | [11] M. Lampert, P. Mark. İnjekulonniye toni v tverdıx telax, M.Mir., 1973, 473s.                                      |
| [6] N.N. Niftiyev, M.A. Alidjanov, O.B. Taqiyev, F.M. Mamedov. FTP, 2004, t.38. №. 5, s.550-552. (Rus dilində).                   | [12] P.Q. Litevçenko, V.İ. Ustinev. Aktualnie voprosi fiziki poluprovodnikovix priborov, Vilnyus, Mokslas, 1960, 153s. |
|   | [13] Yu.A. Qoroxovatskiy. Osnovi termodepolyarizatsionnoqo analiza, Nauka, 1981, 176s.                                 |

Н.Н. Нифтиев, О.Б. Тагиев, М.Б. Мурадов, Ф.М. Мамедов

### ЭЛЕКТРИЧЕСКИЕ СВОЙСТВА МОНОКРИСТАЛЛОВ MnGa<sub>2</sub>S<sub>4</sub>

Исследованы вольтамперные характеристики ВАХ, электропроводность  $\sigma(T)$  и токи термостимулированной депольаризации (ТСД) для кристаллов MnGa<sub>2</sub>S<sub>4</sub> при различных температурах. Найден характер ловушек, определена их глубина залегания и концентрация.

N.N. Niftiyev, O.B. Tagiyev, M.B. Muradov, F.M. Mamedov

### ELECTRICAL PROPERTIES OF MnGa<sub>2</sub>S<sub>4</sub> SINGLE CRYSTALS

Volt-ampere characteristics VAC, electric conduction  $\sigma(T)$  and thermostimulated depolarization (TSD) currents for MnGa<sub>2</sub>S<sub>4</sub> crystals at different temperatures are investigated. Trap character is found and its occurrence depths and concentration are obtained.

Received: 08.07.06

